

Última actualización de la información: Marzo 2025

Configuraciones productos: RM22.83

RM22.83: Ø 153 - 3500K - CRI90 - UGR<19 - INVERSOR - Negro Transparente

**Código producto**

RM22.83: Ø 153 - 3500K - CRI90 - UGR<19 - INVERSOR - Negro Transparente

Descripción

Luminaria circular fija para usar con lámpara LED de tecnología C.o.B. Versión con marco para instalación en apoyo. Reflector termoplástico prismatizado con recuperador de flujo. Óptica disponible con dos acabados, blanco o negro transparentes. Disipador de aluminio fundido a presión pintado de gris. Luminaria con led en color warm white (3500K) y microfilm capaz de garantizar una emisión luminosa UGR<19 L<3000 cd/m2 ideal para espacios en los que existen videoterminales. Luminaria con inversor para iluminación de seguridad.

Instalación

Empotrable mediante los correspondientes muelles de torsión que permiten una instalación fácil en falsos techos con espesor de 1 mm a 25 mm.

Colores

Negro Transparente (83)

Peso (Kg)

1.31

Montaje

en el techo

Equipo

Luminaria con INVERSOR para iluminación de seguridad.

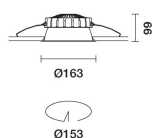
Se conforma con EN60598-1 y regulaciones pertinentes



IP20

IP54

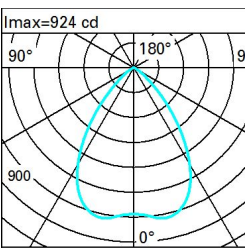
En la parte visible del producto una vez instalado

**Datos técnicos**

Im de sistema:	1275
W de sistema:	15.4
Im de la fuente:	1500
W de la fuente:	9.6
Eficiencia luminosa (lm/W, valor del sistema):	82.8
Im en modo emergencia:	-
Flujo total de emisión en un ángulo de 90° o superior [Lm]:	0
Light Output Ratio (L.O.R.) [%]:	85
CRI (mínimo):	90
Temperatura de color [K]:	3500

MacAdam Step:	2
Life time (vida útil) LED 1:	> 50,000h - L90 - B10 (Ta 25°C)
Código de lámpara:	LED
Número de lámparas por grupo óptico:	1
Código ZVEI:	LED
Número de grupos ópticos:	1
Factor de potencia:	Ver Hoja de instrucciones
Corriente de entrada:	20 A / 200 µs
Número máximo de luminarias por interruptor automático:	B10A: 14 Luminarias B16A: 23 Luminarias C10A: 23 Luminarias C16A: 39 Luminarias
Protección al sobrevoltaje:	2kV Modo común y 1kV Modo diferencial

Polar

Imax=924 cd		CIE nL 0.85 83-98-100-100-85 UGR 17.5-17.5		Lux			
		DIN A.61 UTE 0.85B+0.00T F*1=831 F*1+F*2=984 F*1+F*2+F*3=997		h	d	Em	E_{max}
		CIBSE LG3 L<1500 cd/m² at 65° UGR<19 L<1500 cd/mq @65°		1	1.5	675	883
				2	3	169	221
				3	4.5	75	98
$\alpha = 74^\circ$				4	6	42	55

	R	77	75	73	71	55	53	33	00	DRR
K0.8	70	64	61	58	64	60	60	56	66	
1.0	75	70	66	63	69	65	65	61	72	
1.5	80	77	74	71	76	73	72	69	81	
2.0	84	81	79	77	80	78	77	74	87	
2.5	86	84	82	80	82	81	80	77	90	
3.0	87	85	84	82	84	83	81	79	93	
4.0	88	87	86	85	86	85	83	81	95	
5.0	89	88	87	86	87	86	84	82	96	

Figure 1 is a graph showing the angular distribution of light intensity (cd/m²) versus angle (α) for two LED types: C0-180 and C90-270. The graph includes a table of beam spread data and a plot of light intensity (cd/m²) versus angle (α) for both LED types.

Table 1: Beam Spread Data

QC	A	G	1.15	2000	1000	500	<=300	750	500	<=300	1000	500	<=300
	B		1.50		2000	1000							
	C		1.85			2000							

Figure 1: Angular Distribution of Light Intensity

The graph plots light intensity (cd/m²) on the y-axis (ranging from 45° to 85°) against angle (α) on the x-axis (ranging from 10° to 10°). The C0-180 LED (solid line) shows a sharp peak at 90°, while the C90-270 LED (dashed line) shows a broader distribution peaking around 90°.

Corrected UGR values (at 1500 lm bare lamp luminous flux)											
Reflect.: ceiling walls work pl. Room dim x y		0.70	0.70	0.50	0.50	0.30	0.70	0.70	0.50	0.50	0.30
		0.50	0.30	0.50	0.30	0.30	0.50	0.30	0.50	0.30	0.30
		0.20	0.20	0.20	0.20	0.20	0.20	0.20	0.20	0.20	0.20
		viewed crosswise					viewed endwise				
2H	2H	17.9	18.7	18.2	18.9	19.2	17.9	18.7	18.2	18.9	19.2
	3H	17.8	18.5	18.1	18.8	19.1	17.9	18.5	18.2	18.8	19.1
	4H	17.8	18.4	18.1	18.7	19.0	17.8	18.4	18.1	18.7	19.0
	6H	17.7	18.3	18.1	18.6	18.9	17.7	18.3	18.1	18.6	18.9
	8H	17.7	18.2	18.0	18.6	18.9	17.7	18.2	18.0	18.6	18.9
	12H	17.6	18.2	18.0	18.5	18.9	17.6	18.2	18.0	18.5	18.9
4H	2H	17.8	18.4	18.1	18.7	19.0	17.8	18.4	18.1	18.7	19.0
	3H	17.7	18.2	18.0	18.5	18.9	17.7	18.2	18.1	18.6	18.9
	4H	17.6	18.1	18.0	18.4	18.8	17.6	18.1	18.0	18.4	18.8
	6H	17.6	18.0	18.0	18.4	18.8	17.5	17.9	18.0	18.3	18.8
	8H	17.5	17.9	18.0	18.3	18.8	17.5	17.9	17.9	18.3	18.7
	12H	17.5	17.9	18.0	18.3	18.7	17.4	17.8	17.9	18.2	18.7
8H	4H	17.5	17.9	17.9	18.3	18.7	17.5	17.9	18.0	18.3	18.8
	6H	17.5	17.8	17.9	18.2	18.7	17.5	17.8	17.9	18.2	18.7
	8H	17.4	17.7	17.9	18.2	18.7	17.4	17.7	17.9	18.2	18.7
	12H	17.4	17.7	17.9	18.1	18.7	17.4	17.6	17.9	18.1	18.6
12H	4H	17.4	17.8	17.9	18.2	18.7	17.5	17.9	18.0	18.3	18.7
	6H	17.4	17.7	17.9	18.1	18.6	17.5	17.7	17.9	18.2	18.7
	8H	17.4	17.6	17.9	18.1	18.6	17.4	17.7	17.9	18.1	18.7
Variations with the observer position at spacing:											
S =	1.0H	2.2 / -4.2					2.2 / -4.2				
	1.5H	4.3 / -7.5					4.3 / -7.5				
	2.0H	6.3 / -9.4					6.3 / -9.4				